

ГЕТЕРОЛАЗЕРЫ PbS/PbSSe/PbSnSe С КВАНТОВЫМ РАЗМЕРНЫМ ЭФФЕКТОМ В АКТИВНОЙ ОБЛАСТИ

А.П.Шотов, Ю.Г.Селиванов

Наблюдался квантово-размерный эффект в ультратонкой активной области полупроводниковых лазеров PbS/PbSSe/PbSnSe. Показано, что при генерации излучения для оптических переходов между связанными состояниями выполняется правило отбора $\Delta n = 0$.

Стремление снизить плотность порогового тока привело к созданию полупроводниковых лазеров с толщинами активного слоя, сравнимыми с длиной волны де Бройля электрона^{1, 2}. Возникающий при этом эффект размерного квантования приводит к появлению в спектре излучения набора линии, которые обусловлены переходами электронов между связанными состояниями в квантовых потенциальных ямах, образованных разрывами зон. Особый интерес представляет изучение квантово-размерного эффекта в полупроводниках типа Al^VBr^{VI} вследствие особенностей их зонной структуры — почти зеркальной симметрии законов дисперсии для электронов и дырок.

В настоящей работе впервые изготовлены инжекционные гетеролазеры PbS/PbSSe/PbSnSe с квантовым размерным эффектом в активной области. Лазерные структуры выращивались методом молекулярной эпитаксии с горячей стенкой³. Такой лазер представляет собой двойную гетероструктуру с раздельным электронным и оптическим ограничением (рис. 1). Активная область и волноводные слои гетеролазера выращены из Pb_{0,95}Sb_{0,05}Se и PbS_{0,4}Se_{0,6} соответственно, что дает скачок ширины запрещенной зоны $E_g^{ak} = 109$ мэВ при 77 К. Для получения *n* и *p* типов проводимости слои соответственно легировались Bi и Se. Центральная активная область была не легирована. Образцы для исследования представляли собой лазеры с широким контактом и были изготовлены по методике⁴.

Образцы имели следующие толщины активной области L_z : 400, 500, 1000 и 2000 Å. Лазеры с $L_z \geq 1000$ Å во всей области рабочих температур излучали на частоте, соответствующей ширине запрещенной зоны E_g^{ak} в Pb_{0,95}Sn_{0,05}Se. Для лазеров с $L_z = 400$ и 500 Å в диапазоне температур от ~ 60 до ~ 130 K наблюдалась две линии генерации с энергией, большей E_g^{ak} .

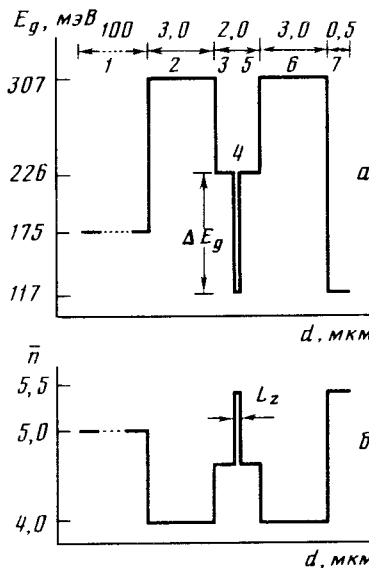


Рис. 1

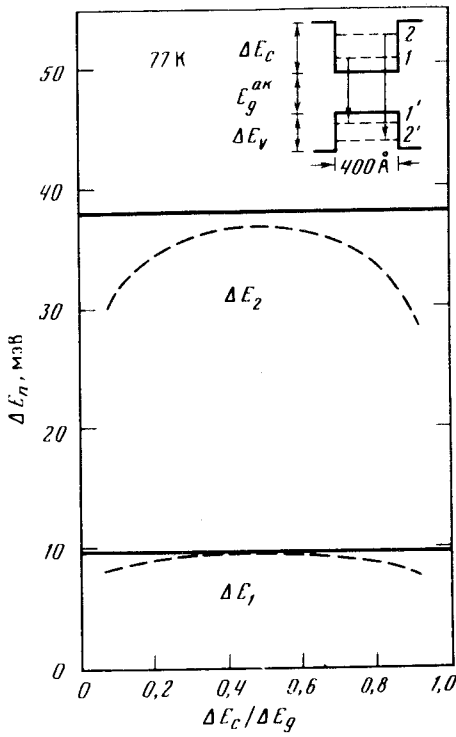


Рис. 2

Экспериментальное увеличение энергии излучения для лазера с $L_z = 400 \text{ \AA}$ показано на рис. 2 сплошными прямыми и составляет 9,7 мэВ для линии $\lambda_1 = 9,8 \text{ мкм}$ и 38 мэВ для линии $\lambda_2 = 8 \text{ мкм}$. Эти сдвиги определялись по разнице энергии излучения квантово-размерного лазера и гетеролазера с толстой ($L_z > 1 \text{ мкм}$) активной областью⁴ в импульсном режиме, чтобы исключить влияние перегрева. Расчет энергии уровней в квантовых ямах ($L_z = 400 \text{ \AA}$) проводился в рамках параболического закона дисперсии по модели прямоугольной потенциальной ямы конечной глубины⁵.

Сам факт наблюдения лазерной генерации указывает на контравариантный тип гетероструктуры. Поскольку детальная энергетическая зонная диаграмма гетероперехода PbSSe/PbSnSe не известна, разрыв валентной зоны $\Delta E_v = \Delta E_g - \Delta E_c$ использовался в качестве подгоночного параметра. На основании продольной m_l и поперечной m_t компонент эффективных

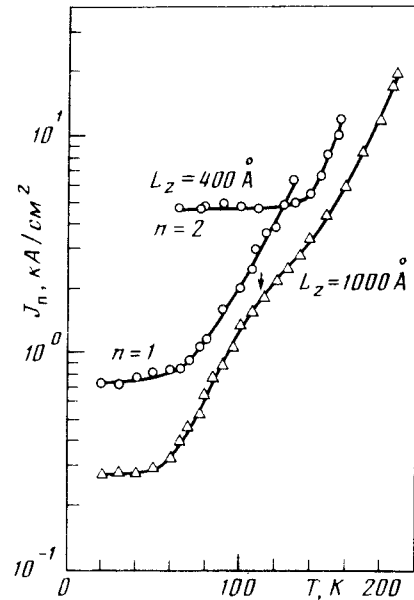


Рис. 3

Рис. 1. Схематическое изображение лазерной структуры PbS/PbSSe/PbSnSe. а – Профиль ширины запрещенной зоны E_g : 1 – эпитаксиальная подложка $n\text{-PbSe}$; 2 – $n\text{-PbS}$; 3, 5 – волноводные слои n и p – $PbS_{0,4}Se_{0,6}$; 4 – активная область $n\text{-Pb}_{0,95}Sn_{0,05}Se$; 6 – $p\text{-PbS}$; 7 – контактный слой $p\text{-Pb}_{0,95}Sn_{0,05}Se$. б – Профиль показателя преломления n на длине волны 10,6 мкм: L_z – толщина активного слоя

Рис. 2. Расчетный сдвиг энергии излучения как функция $\Delta E_c/\Delta E_g$ и экспериментальное увеличение энергии для лазера с $L_z = 400 \text{ \AA}$. $\Delta E_n = E_{n,c} + E_{n,v}$ ($n = 1, 2, \dots$), где $E_{n,c}$ и $E_{n,v}$ – энергии квантовых уровней для электронов и дырок, отсчитанные от дна ямы

Рис. 3. Температурная зависимость пороговой плотности тока J_π для двух лазеров с $L_z = 400 \text{ \AA}$ и 1000 \AA

масс в $\text{Pb}_{0.95}\text{Sn}_{0.05}\text{Se}$ ⁶ определялись эффективные массы проводимости для электронов и дырок. При 77 К они составляют соответственно 0,035 и 0,031 от массы свободного электрона. Штриховыми линиями на рис. 2 изображено расчетное увеличение энергии излучения вследствие квантово-размерного эффекта для переходов $1 - 1'$ (ΔE_1) и $2 - 2'$ (ΔE_2). Рассчитанные энергетические сдвиги для переходов $2 - 1'$ и $1 - 2'$ лежат в пределах 16 – 24 мэВ. Из рис. 2 видно, что имеется согласие между расчетом и экспериментом при условии, что переходы происходят с сохранением главного квантового числа n , как показано на вставке. Небольшое (~ 3 мэВ) превышение наблюдавшегося сдвига ΔE_2 над расчетным может быть обусловлено изменением параметров потенциальных ям (уровень $n = 2$ более чувствителен к таким изменениям чем уровень $n = 1$) для электронов и дырок вследствие диффузии серы S в активный слой. Для переходов между состояниями с $n = 3$ расчет дает $\Delta E_3 \approx 76$ мэВ ($\lambda_3 = 6,4$ мкм) однако эта линия не наблюдалась. Тот факт, что эффективные массы электронов и дырок очень близки, приводит к сравнительно слабой зависимости сдвигов ΔE_1 и ΔE_2 от $\Delta E_c/\Delta E_g$ и делает практически однозначной идентификацию электронных переходов между связанными состояниями в квантовых потенциальных ямах.

Сравнение расчета с экспериментом для лазера с $L_z = 500$ Å также свидетельствует в пользу правила отбора $\Delta n = 0$. Отметим, что энергии квантов для наблюдавшихся переходов между состояниями с $n = 2$ в структурах с $L_z = 400$ и 500 Å отличаются на ~ 12 мэВ при 77 К. Расчетная разность энергии для этих линий согласуется с экспериментальной и составляет 10 ± 3 мэВ.

На рис. 3 приведены зависимости пороговой плотности тока $J_{\text{п}}$ от температуры при импульсной накачке (1 мкс, 600 Гц) для лазеров с $L_z = 400$ и 1000 Å. При низких температурах ($T \leq 125$ К) лазер с $L_z = 400$ Å на пороге генерации работает на переходах между состояниями с $n = 1$ в зоне проводимости и валентной зоне. Переходы между состояниями с $n = 2$ требуют большего тока накачки. Этот ток практически не меняется с повышением температуры, пока токи, необходимые для наблюдения линий с $n = 1$ и $n = 2$, не сравняются ($T = 125$ К). Выше этой точки $J_{\text{п}}$ растет по экспоненциальному закону, и лазер генерирует излучение на переходах с $n = 2$ до 160 К ($\lambda_2 = 6,5$ мкм). Выше 130 К линия $n = 1$ не наблюдается. Похожая зависимость получена и для лазера с $L_z = 500$ Å. Для лазера с $L_z = 1000$ Å на кривой $J_{\text{п}}(T)$ имеется особенность, указывающая на переключение лазера с линии $n = 1$ на линию $n = 2$. Однако сдвиг энергии излучения в этом случае мал и энергия кванта довольно близка к значению E_g^{ak} . Зависимость $J_{\text{п}}(T)$ для образца с $L_z = 2000$ Å имела обычный характер для лазеров на халькогенидах свинца^{4, 6}, т. е. квантово-размерный эффект в активной области имеет место при толщинах $L_z \leq 1000$ Å. Отметим, что лазер с $L_z = 2000$ Å работал в импульсном режиме до 218 К ($\lambda = 6,5$ мкм), что является максимальной рабочей температурой для лазеров на PbSnSe.

Таким образом, обнаружен квантовый размерный эффект в активной области гетеролазеров PbS/PbSSe/PbSnSe. Установлено, что наблюдавшиеся линии излучения обусловлены переходами электронов между локализованными состояниями в потенциальных ямах. Для этих переходов выполняется правило отбора $\Delta n = 0$. Эффект наблюдался при толщинах $L_z \leq 1000$ Å.

Литература

- Голюньяк Н.Н., мл. ФТП, 1985, **19**, 1529.
- Partin D.L. Appl. Phys. Lett., 1984, **45**, 487.
- Вяткин К.В., Шотов А.П., Ураски В.В. Изв. АН СССР, сер. Неорг. матер., 1981, **17**, 24.
- Шотов А.П., Вяткин К.В., Синятынский А.А. Письма в ЖЭТФ, 1980, **6**, 983.
- Ландак Г.Д., Либшиц Е.М. Квантовая механика, Нерелятивистская теория, 1974, М.: Наука.
- Preier H. Appl. Phys., 1979, **20**, 189.